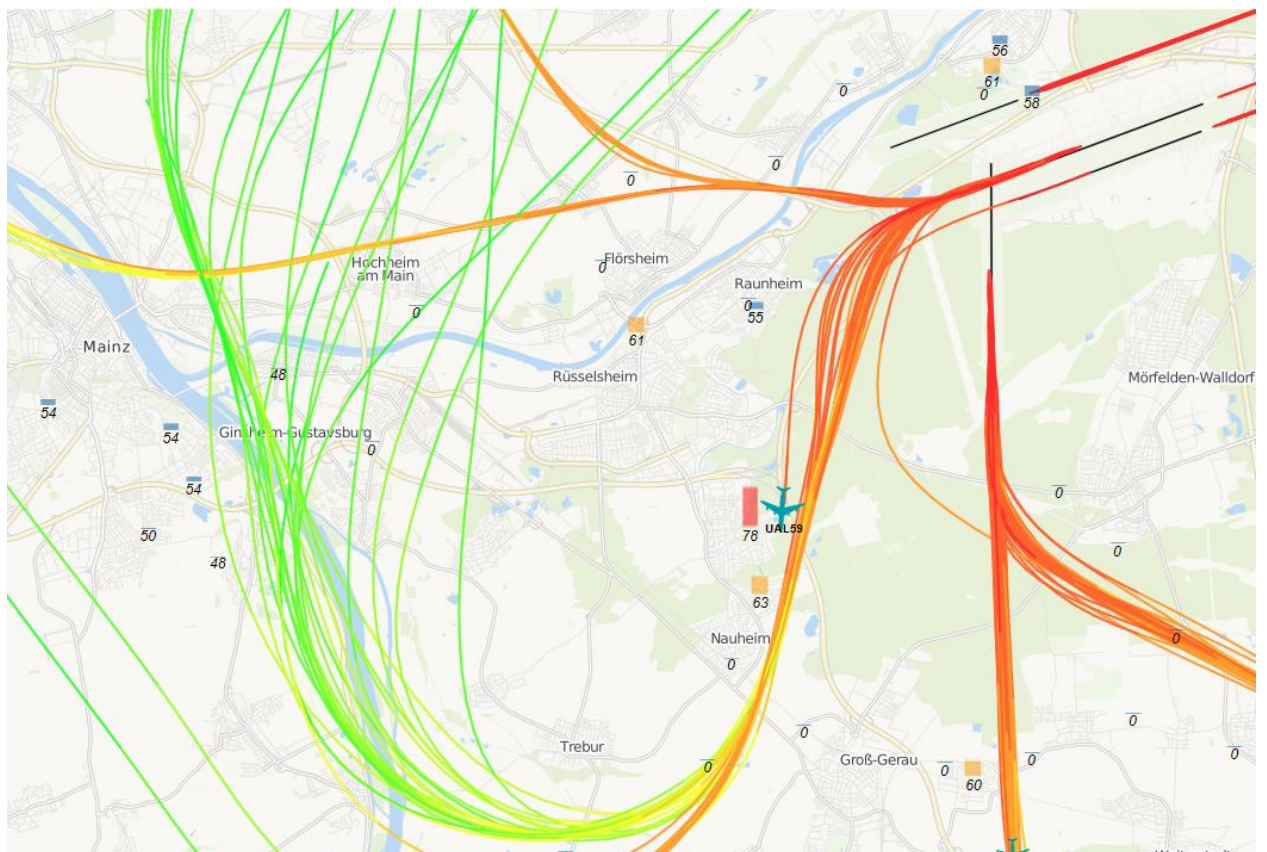


Auswertung der Überflüge sowie der Fluggeräuschmessdaten des MP-207 in Rüsselsheim-Königstädten

Berichtszeitraum: Januar 2021 – März 2021 | Stand 28.06.2021



Inhalt

| | | |
|----------|---|-----------|
| 1 | Einführung | 4 |
| 1.1 | Messsystem deBAKOM | 4 |
| 1.2 | Erläuterung der verschiedenen Pegel (Abkürzungen) | 4 |
| 1.3 | Standort der Messstation | 5 |
| 2 | Überflughöhen | 7 |
| 2.1 | Auswertungsmethode und Erfassungsrate | 7 |
| 2.2 | Bahnnutzung bzgl. Starts | 8 |
| 2.3 | Ausfallzeiten | 8 |
| 2.4 | Abflughöhen bei Betriebsrichtung 25 | 9 |
| 3 | Fluggeräuscheignisse | 12 |
| 4 | Fluggeräuschpegel | 13 |
| 4.1 | Maximalpegelverteilung | 13 |
| 4.2 | Leq- und NAT-Auswertung | 15 |
| 4.3 | Jahresübersicht 2021 | 18 |

Anlagen

Anlage 1: Geräuschklassifikation der Firma deBAKOM

Abbildungsverzeichnis

| | |
|---|----|
| Abb. 1: Standort der Messstation MP-207 (Quelle: Google Maps) | 5 |
| Abb. 2: BR25 - Identifizierte Abflüge im März 2021, Vorderansicht (Quelle: Bing Maps) | 7 |
| Abb. 3: BR25 - Identifizierte Abflüge im März 2021, Draufsicht (Quelle: Bing Maps) | 8 |
| Abb. 4: Boxplots - Abflughöhen bei Betriebsrichtung 25 | 10 |
| Abb. 5: Anzahl Fluggeräuscheignisse (Tag und Nacht) | 12 |
| Abb. 6: Maximalpegelverteilung am Tag (Fluggeräusch) | 13 |
| Abb. 7: Maximalpegelverteilung in der Nacht (Fluggeräusch) | 14 |
| Abb. 8: L_{DIN} Tag und Nacht | 15 |
| Abb. 9: NAT68 und NAT72 | 16 |
| Abb. 10: L_{eq} Tag und Nacht | 16 |
| Abb. 11: L_{95} Tag und Nacht | 17 |

1 Einführung

1.1 Messsystem deBAKOM

Wesentliche Komponenten des Messsystems sind eine wetterfeste und beheizte Mikrofoneinheit (Klasse 1 Mikrophon) mit Windschirm, eine Wetterstation sowie ein Messrechner. Bei Windgeschwindigkeiten im Mittel > 5 m/s werden alle Geräusche ausgeblendet, um die Erfassung von Störgeräuschen zu verhindern. Die Daten werden im Messrechner erfasst und stündlich an das Umwelt- und Nachbarschaftshaus (UNH) übertragen.

Für die Geräuschauswertung wird eine spezielle Software eingesetzt, die eine 2-stufige Erkennung durchführt: 1. Stufe ist die Erkennung auf Grund physikalischer Parameter nach DIN 45643 (Messung und Beurteilung von Fluggeräuschen) d.h. der Schallpegel eines Fluggeräuschereignisses muss z.B. einen Messschwellenpegel um mindestens einen bestimmten Betrag übersteigen; 2. Stufe ist eine detaillierte Erkennung anhand einer Korrelationsanalyse mit Musterspektren (s. Anlage). Diese werden mit Hilfe von Audioaufzeichnungen aus für den Messort typischen Fluggeräuschereignissen erstellt. Als 3. Stufe werden die erkannten Fluggeräuschereignisse mit den FANOMOS-Daten (Radarspuren) der Deutschen Flugsicherung (DFS) korreliert. Falls diese Prüfkriterien alle zueinander passen, wird das Ereignis als Fluggeräuschereignis deklariert und fließt in die Fluggeräuschauswertung ein.

1.2 Erläuterung der verschiedenen Pegel (Abkürzungen)

$L_{DIN,T}$ = Fluggeräusch L_{eq} (nach DIN 45643 vom Februar 2011) (Tag 06:00 - 22:00 Uhr).

$L_{DIN,N}$ = Fluggeräusch L_{eq} (nach DIN 45643 vom Februar 2011) (Nacht 22:00 - 06:00 Uhr).

$L_{eq,T}$ = L_{eq} aller Geräusche (Tag 06:00 - 22:00 Uhr).

$L_{eq,N}$ = L_{eq} aller Geräusche (Nacht 22:00 - 06:00 Uhr).

$L_{95,T}$ = L_{eq} aller Geräusche der zu 95% der Beurteilungszeit überschritten ist (Tag 06:00 - 22:00 Uhr).

$L_{95,N}$ = L_{eq} aller Geräusche der zu 95% der Beurteilungszeit überschritten ist (Nacht 22:00 - 06:00 Uhr).

NAT68 = Anzahl der Fluggeräuschereignisse die 68 dB(A) überschreiten (Nacht 22:00 - 06:00 Uhr).

NAT72 = Anzahl der Fluggeräuschereignisse die 72 dB(A) überschreiten (Nacht 22:00 - 06:00 Uhr).

1.3 Standort der Messstation

Die Messstation auf einem Privatgrundstück an der Amorbacher Straße in Königstädten wurde am 13. August 2012 in Betrieb genommen. Die Koordinaten des Standortes (MP-207) lauten: 32 U 461 450; 5535276 [UTM]. Die Messhöhe des Mikrofons beträgt 4 m über dem Dach des Hauses (ca. 10 m ü. Grund).

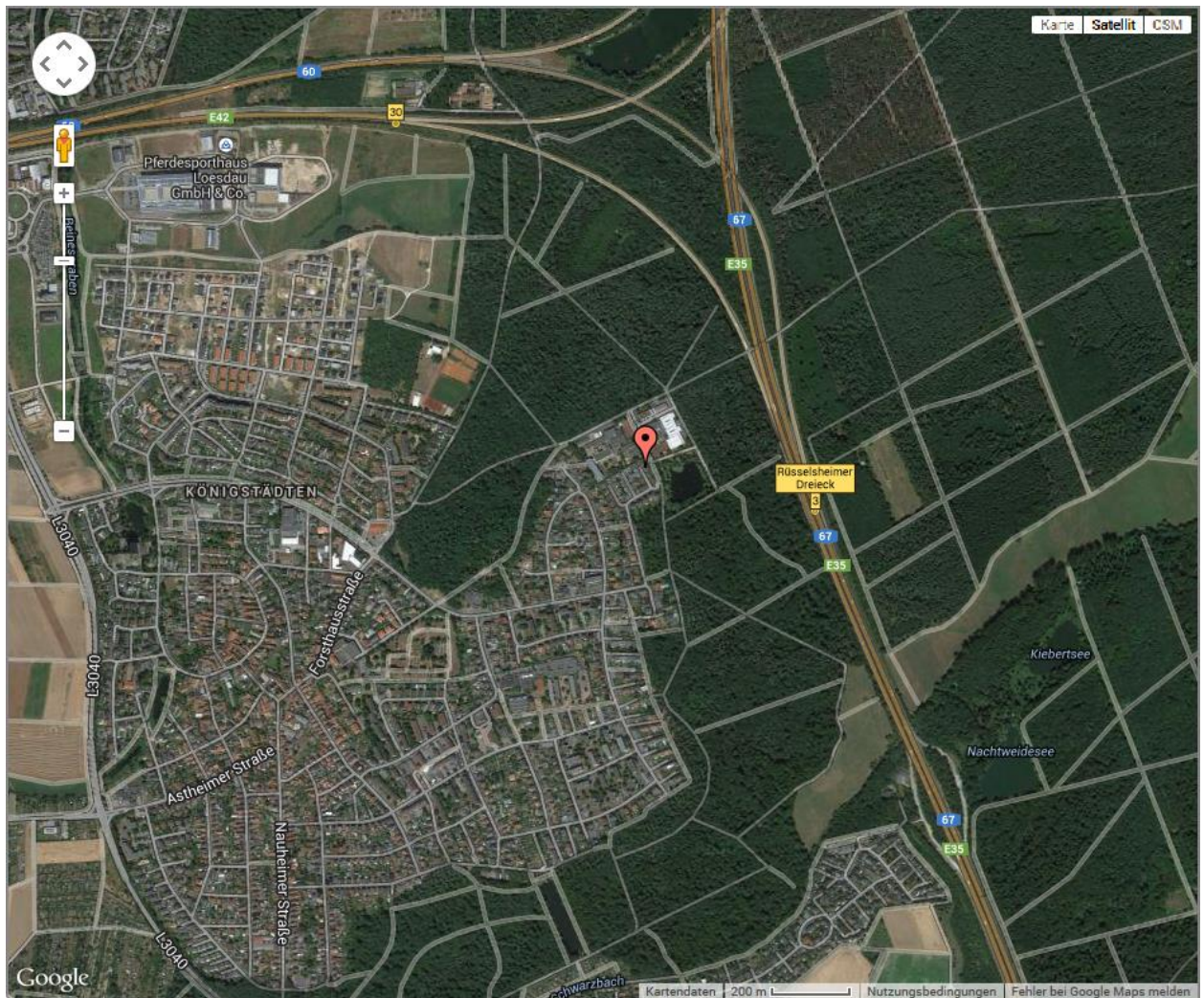


Abb. 1: Standort der Messstation MP-207 (Quelle: Google Maps)

Diese Auswertung umfasst Daten vom 1. Januar 2021 bis zum 31. März 2021.

Auswertung der Überflüge über Königstädten



2 Überflughöhen

2.1 Auswertungsmethode und Erfassungsrate

Der Auswertebereich für die Überflüge über dem MP-207 hat folgende Ausdehnungsmaße:

- **Abflüge (BR25):** Breite jeweils 1852 m (1 NM) links und rechts der Station; die Auswertungshöhe beträgt maximal 4500 m über NN (MSL), die Ausrichtung des Tores beträgt 185° für die Betriebsrichtung (BR) 25.

| | Anzahl der Flüge durch die o.g. Tore | Anzahl der erfassten Fluggeräuschereignisse | Prozentualer Anteil der erfassten Fluggeräuschereignisse |
|----------------|--------------------------------------|---|--|
| Abflüge (BR25) | 1873 | 1498 | 79,98% |

Zur Übersicht werden die Abbildungen des „Durchflugtors“ im Monat März 2021 für die BR 25 dargestellt. Es sind nur Flüge bis 13500 ft enthalten und die die o.g. Prüfkriterien 1 bis 3 erfüllt haben. Flüge die zu diesem Zeitpunkt höher als 13500 ft über dem Standort waren, sind in den FANOMOS-Daten, die das UNH erhält, nicht enthalten.

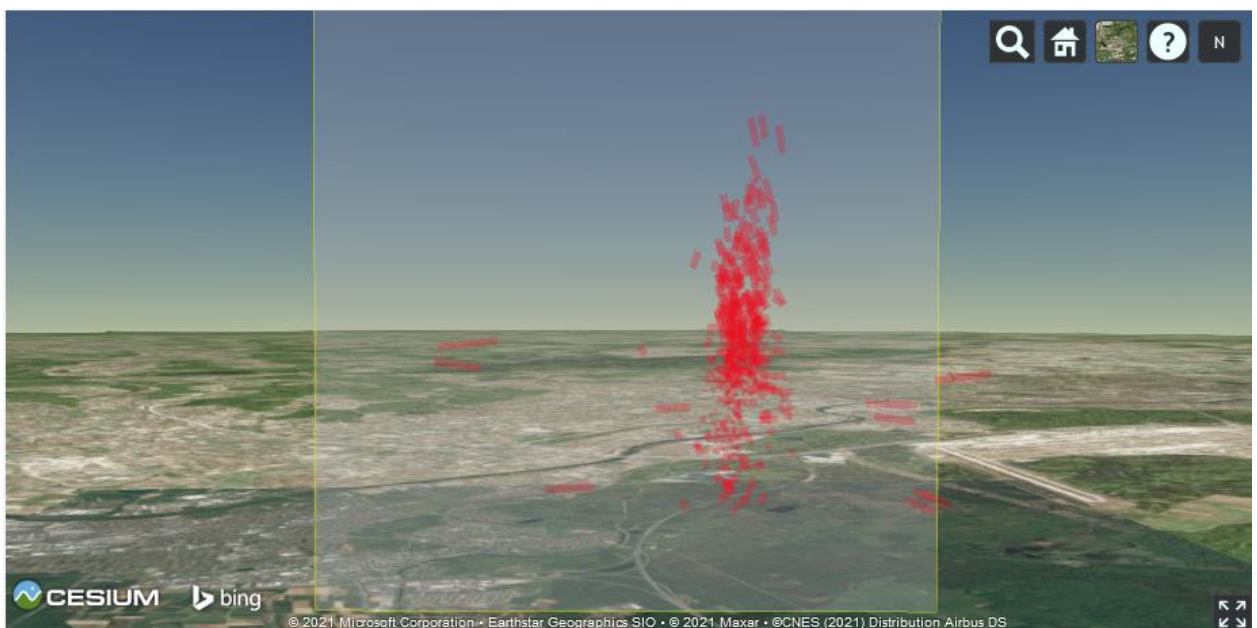


Abb. 2: BR25 - Identifizierte Abflüge im März 2021, Vorderansicht (Quelle: Bing Maps)

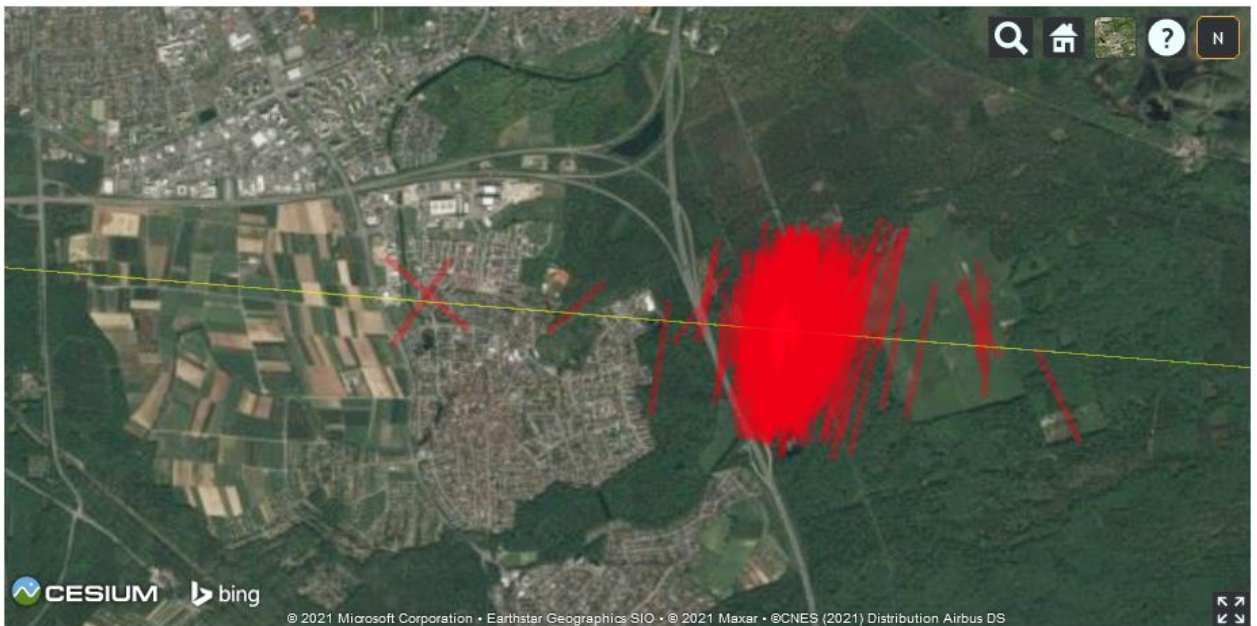


Abb. 3: BR25 - Identifizierte Abflüge im März 2021, Draufsicht (Quelle: Bing Maps)

2.2 Bahnnutzung bzgl. Starts

| Bahnnutzung * in [%] | BR07 | | BR18 | BR25 | | Monatlicher Durchschnitt | | |
|-------------------------|------------|------------|-----------|------------|------------|-----------------------------|--------|--------|
| | RWY 07R | RWY 07C | RWY 18 | RWY 25C | RWY 25L | BR07 | BR18 | BR25 |
| Januar | 2,28% | 15,93% | 48,46% | 26,95% | 6,37% | 18,21% | 48,46% | 33,32% |
| Februar | 6,90% | 32,24% | 38,34% | 18,02% | 4,50% | 39,14% | 38,34% | 22,52% |
| März | 2,50% | 16,35% | 45,51% | 29,54% | 6,09% | 18,85% | 45,51% | 35,63% |

*Die Prozentsätze der Bahnnutzung bzgl. Starts beziehen sich auf den ganzen Monat.

2.3 Ausfallzeiten

| Beginn | Ende | Ausfallzeit in Std. | Ausfallgrund |
|------------------|------------------|---------------------|---------------------|
| 11.01.2021 20:00 | 12.01.2021 15:59 | 20 h | Windgeschwindigkeit |
| 13.01.2021 11:00 | 13.01.2021 14:59 | 4 h | Windgeschwindigkeit |
| 18.01.2021 11:00 | 19.01.2021 18:59 | 32 h | Windgeschwindigkeit |
| 21.01.2021 03:00 | 22.01.2021 07:59 | 29 h | Windgeschwindigkeit |

| | | | |
|------------------|------------------|-------|---------------------|
| 24.01.2021 02:00 | 24.01.2021 17:59 | 16 h | Windgeschwindigkeit |
| 25.01.2021 10:00 | 25.01.2021 10:59 | 1 h | Wartungsarbeiten |
| 26.01.2021 07:00 | 26.01.2021 09:59 | 3 h | Windgeschwindigkeit |
| 27.01.2021 10:00 | 27.01.2021 17:59 | 8 h | Windgeschwindigkeit |
| 29.01.2021 06:00 | 30.01.2021 05:59 | 24 h | Windgeschwindigkeit |
| 31.01.2021 21:00 | 31.01.2021 21:59 | 1 h | Windgeschwindigkeit |
| 03.02.2021 05:00 | 04.02.2021 03:59 | 23 h | Windgeschwindigkeit |
| 08.02.2021 02:00 | 08.02.2021 03:59 | 2 h | Windgeschwindigkeit |
| 10.02.2021 10:00 | 10.02.2021 16:59 | 7 h | Windgeschwindigkeit |
| 27.02.2021 04:00 | 27.02.2021 16:59 | 13 h | Windgeschwindigkeit |
| 01.03.2021 12:00 | 01.03.2021 13:29 | 1,5 h | Wartungsarbeiten |
| 04.03.2021 17:00 | 04.03.2021 17:59 | 1 h | Gewitter |
| 05.03.2021 10:00 | 05.03.2021 11:59 | 2 h | Windgeschwindigkeit |
| 11.03.2021 01:00 | 13.03.2021 18:59 | 66 h | Windgeschwindigkeit |
| 14.03.2021 09:00 | 14.03.2021 14:59 | 6 h | Windgeschwindigkeit |
| 16.03.2021 13:00 | 16.03.2021 14:59 | 2 h | Windgeschwindigkeit |
| 19.03.2021 09:00 | 19.03.2021 13:59 | 5 h | Windgeschwindigkeit |
| 21.03.2021 14:00 | 21.03.2021 15:59 | 2 h | Windgeschwindigkeit |
| 25.03.2021 16:00 | 25.03.2021 18:59 | 3 h | Windgeschwindigkeit |
| 26.03.2021 12:00 | 26.03.2021 13:59 | 2 h | Windgeschwindigkeit |
| 27.03.2021 02:00 | 27.03.2021 16:59 | 15 h | Windgeschwindigkeit |
| 28.03.2021 12:00 | 28.03.2021 18:59 | 7 h | Windgeschwindigkeit |

2.4 Abflughöhen bei Betriebsrichtung 25

Bei den Auswertungen der Abflughöhen wurden nur Flüge betrachtet, die durch das o.a. „Durchflugtor“ geflogen sind, die o.g. Prüfkriterien 1 bis 3 erfüllt haben und am Frankfurter Flughafen (EDDF) gestartet sind.

| Höhe (MSL) in [ft] bei BR25 | Januar | Februar | März |
|--|-------------|------------|------------|
| Mittelwert | 4956 | 4709 | 4622 |
| Standardfehler des Mittelwerts | 41 | 58 | 42 |
| 95% Konfidenzintervall des Mittelwerts | Untergrenze | 4595 | 4539 |
| | Obergrenze | 5036 | 4705 |
| 5% getrimmtes Mittel | 4978 | 4718 | 4636 |
| Median | 5032 | 4908 | 4740 |
| Varianz | 993534 | 1021399 | 1071261 |
| Standardabweichung | 997 | 1011 | 1035 |
| Minimum | 2083 | 2244 | 1959 |
| Maximum | 7480 | 7454 | 8769 |
| Spannweite | 5397 | 5210 | 6810 |
| Interquartilbereich | 1234 | 1325 | 1321 |
| Schiefe | -0,40 | -0,35 | -0,18 |
| Kurtosis | 0,14 | -0,16 | 0,34 |
| Anzahl Ereignisse: | 592 | 308 | 598 |

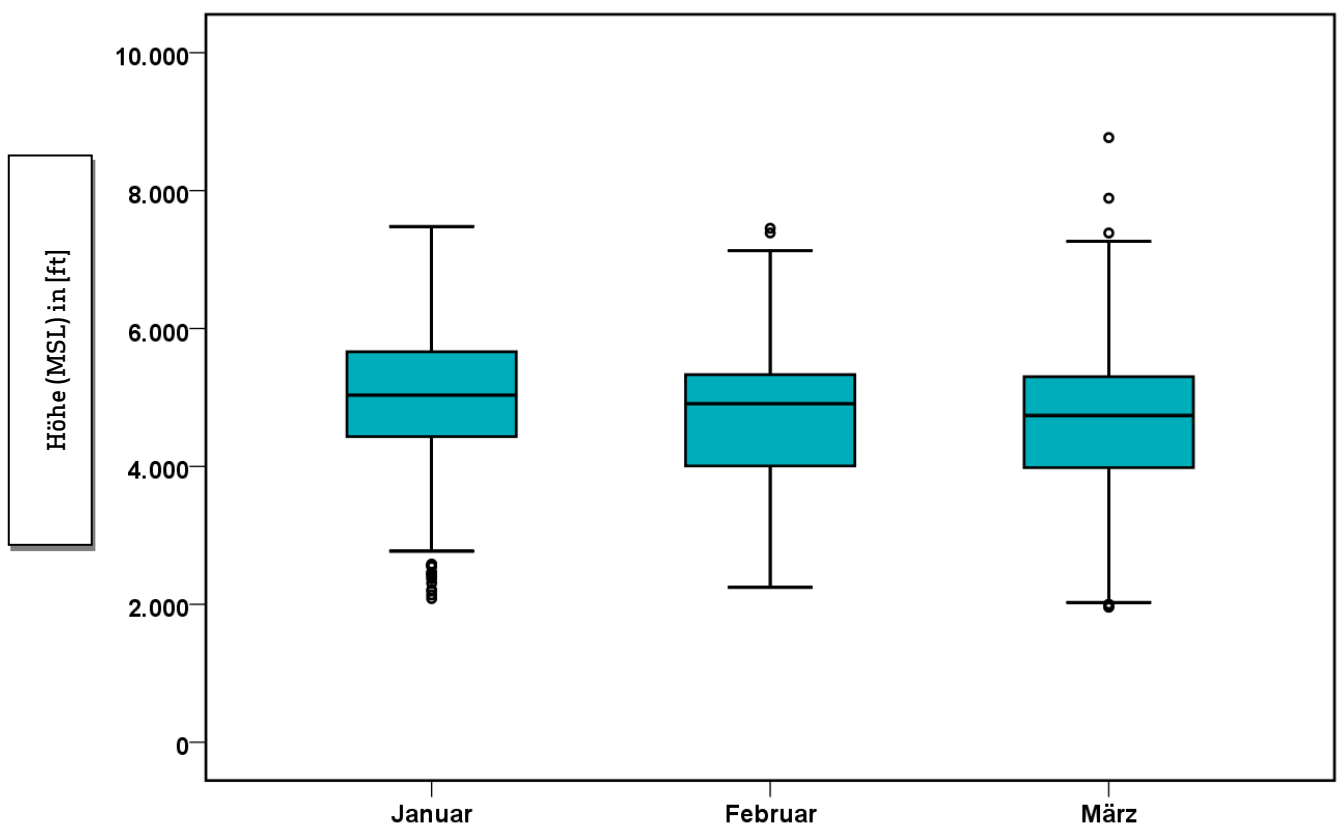


Abb. 4: Boxplots - Abflughöhen bei Betriebsrichtung 25

Auswertung der Fluggeräuschmessstation (MP-207)



3 Fluggeräuscheignisse

„Ereignisse“ sind die von der Software der Station als Fluggeräuscheignis erkannten Pegel. Die Erkennung der Ereignisse basiert in Schritt 1 auf den Kriterien der DIN 45643, in Schritt 2 auf der Geräuschklassifikation der Firma deBAKOM (s. Anhang) und in Schritt 3 auf eine Korrelation mit den FANOMOS-Daten der DFS.

Die Tabelle zeigt die registrierten Fluggeräuscheignisse (Fluglärmereignisse) an der Station sowie die Anzahl der identifizierten Überflüge über die Station. Überflüge, die von der Station nicht als Ereignisse erkannt werden, sind in dieser Auswertung nicht enthalten.

| | Anzahl der Ereignisse | | Anzahl gesamt |
|---------|-----------------------|-------------------------|---------------|
| | Tag 06:00 – 22:00 Uhr | Nacht 22:00 – 06:00 Uhr | |
| Januar | 579 | 13 | 592 |
| Februar | 303 | 5 | 308 |
| März | 584 | 14 | 598 |

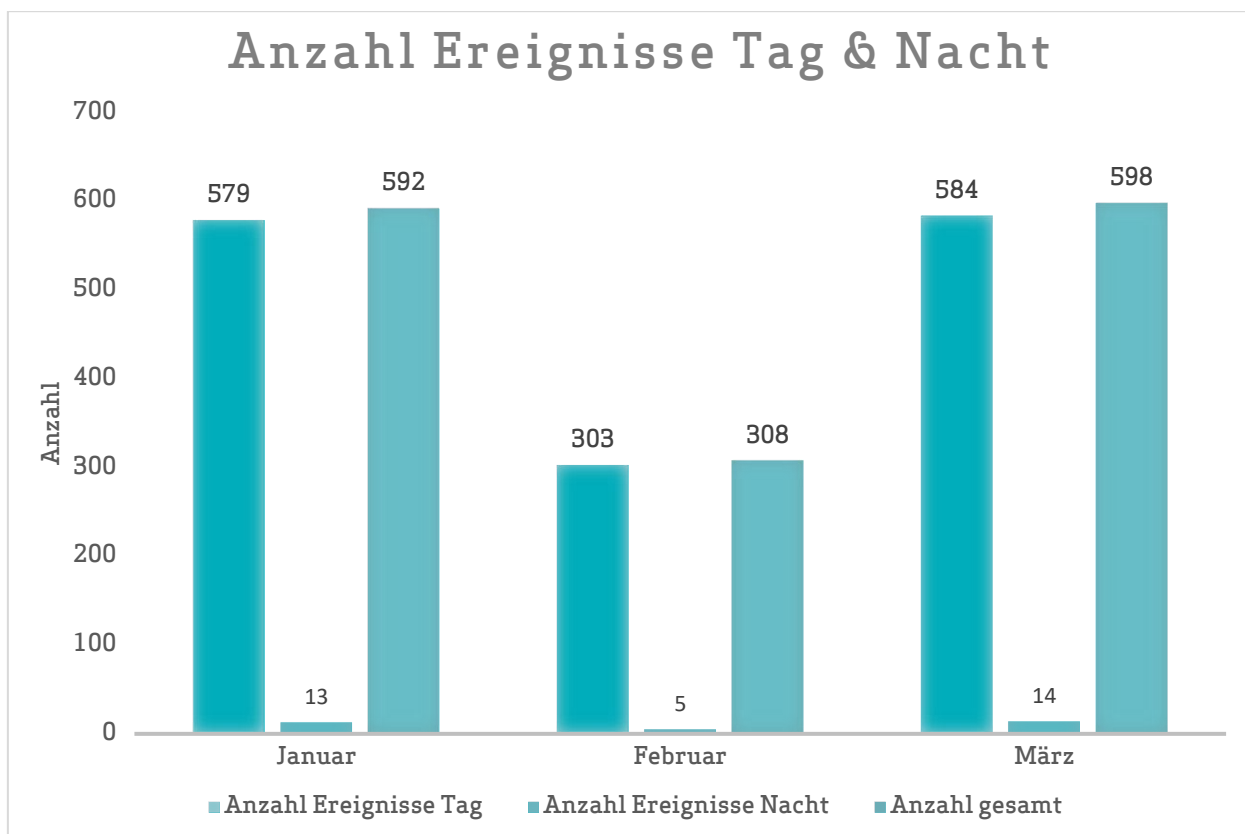


Abb. 5: Anzahl Fluggeräuscheignisse (Tag und Nacht)

4 Fluggeräuschpegel

4.1 Maximalpegelverteilung

Maximalpegelverteilung am Tag (06:00 bis 22:00 Uhr)

| | 55 - 60 dB(A) | 60 - 65 dB(A) | 65 - 70 dB(A) | 70 - 75 dB(A) | 75 - 80 dB(A) | 80 - 85 dB(A) |
|---------|------------------|------------------|------------------|------------------|------------------|------------------|
| Januar | 4 | 91 | 365 | 61 | 54 | 4 |
| Februar | 0 | 39 | 178 | 38 | 45 | 3 |
| März | 2 | 96 | 314 | 81 | 77 | 14 |

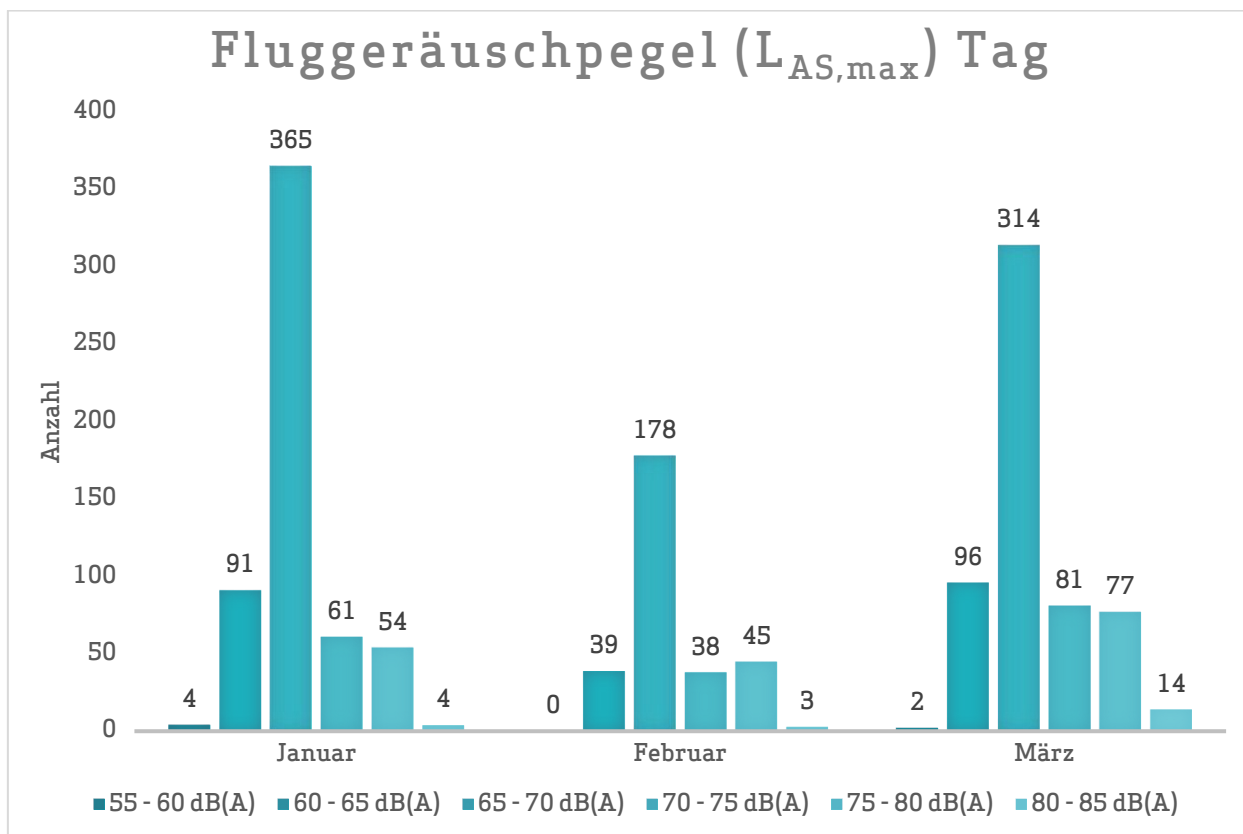


Abb. 6: Maximalpegelverteilung am Tag (Fluggeräusch)

Maximalpegelverteilung in der Nacht (22:00 bis 06:00 Uhr)

| | 55 - 60 dB(A) | 60 - 65 dB(A) | 65 - 70 dB(A) | 70 - 75 dB(A) | 75 - 80 dB(A) |
|---------|------------------|------------------|------------------|------------------|------------------|
| Januar | 0 | 0 | 11 | 1 | 1 |
| Februar | 0 | 1 | 3 | 1 | 0 |
| März | 0 | 3 | 10 | 0 | 1 |

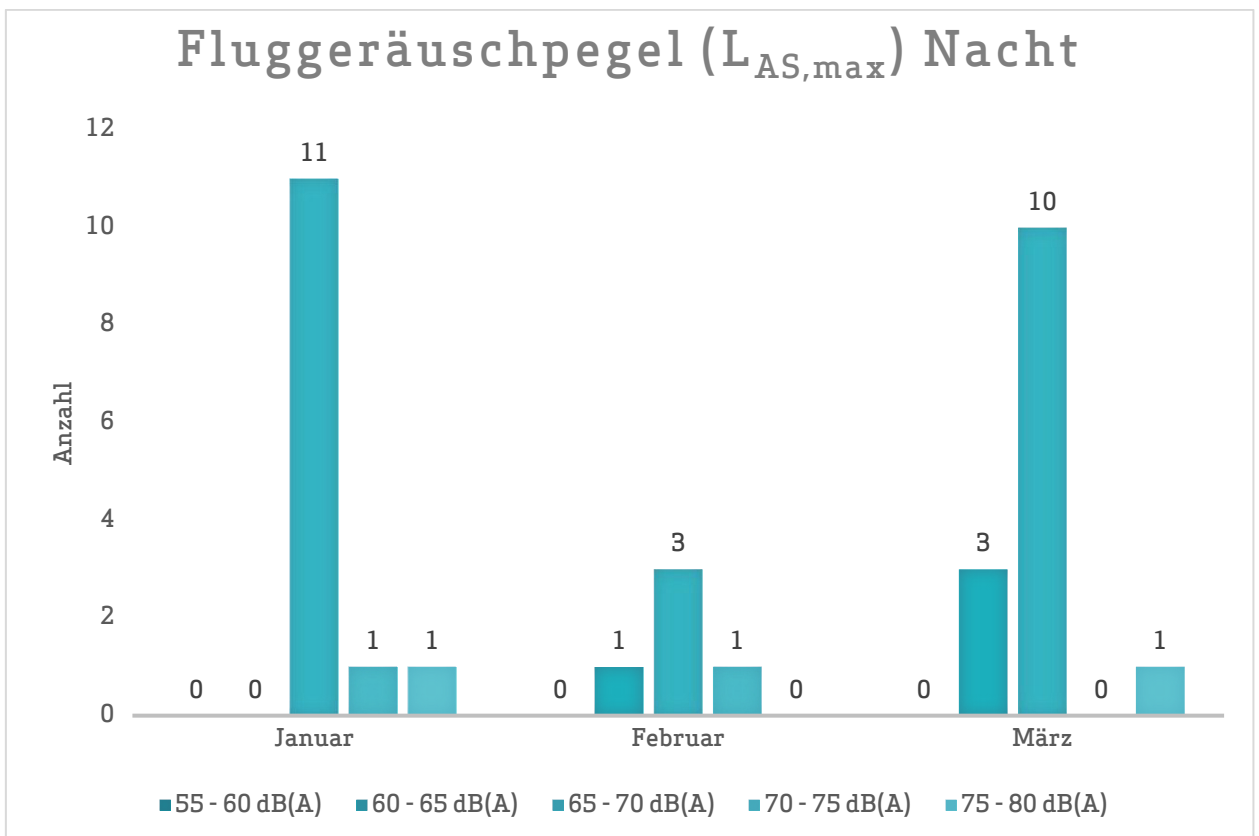


Abb. 7: Maximalpegelverteilung in der Nacht (Fluggeräusch)

4.2 Leq- und NAT-Auswertung

| in dB(A) | $L_{DIN,T}$ | $L_{DIN,N}$ | NAT68* | NAT72* | $L_{eq,T}$ | $L_{eq,N}$ | $L_{95,T}$ | $L_{95,N}$ |
|----------|-------------|-------------|--------|--------|------------|------------|------------|------------|
| Januar | 48,6 | 33,6 | 4 | 1 | 54,0 | 49,9 | 49,0 | 43,3 |
| Februar | 46,8 | 27,7 | 1 | 0 | 54,0 | 50,1 | 50,3 | 45,6 |
| März | 49,3 | 34,0 | 5 | 1 | 56,3 | 50,7 | 50,1 | 46,1 |

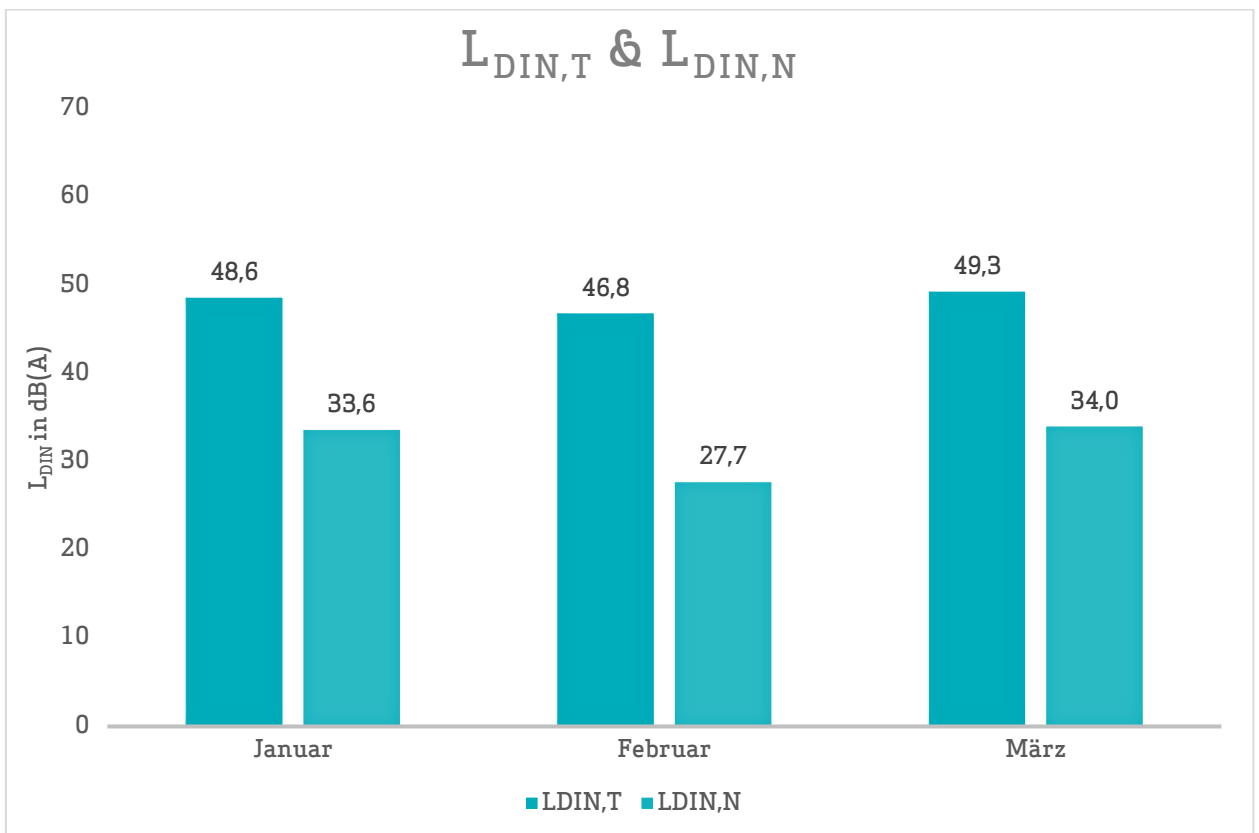


Abb. 8: L_{DIN} Tag und Nacht

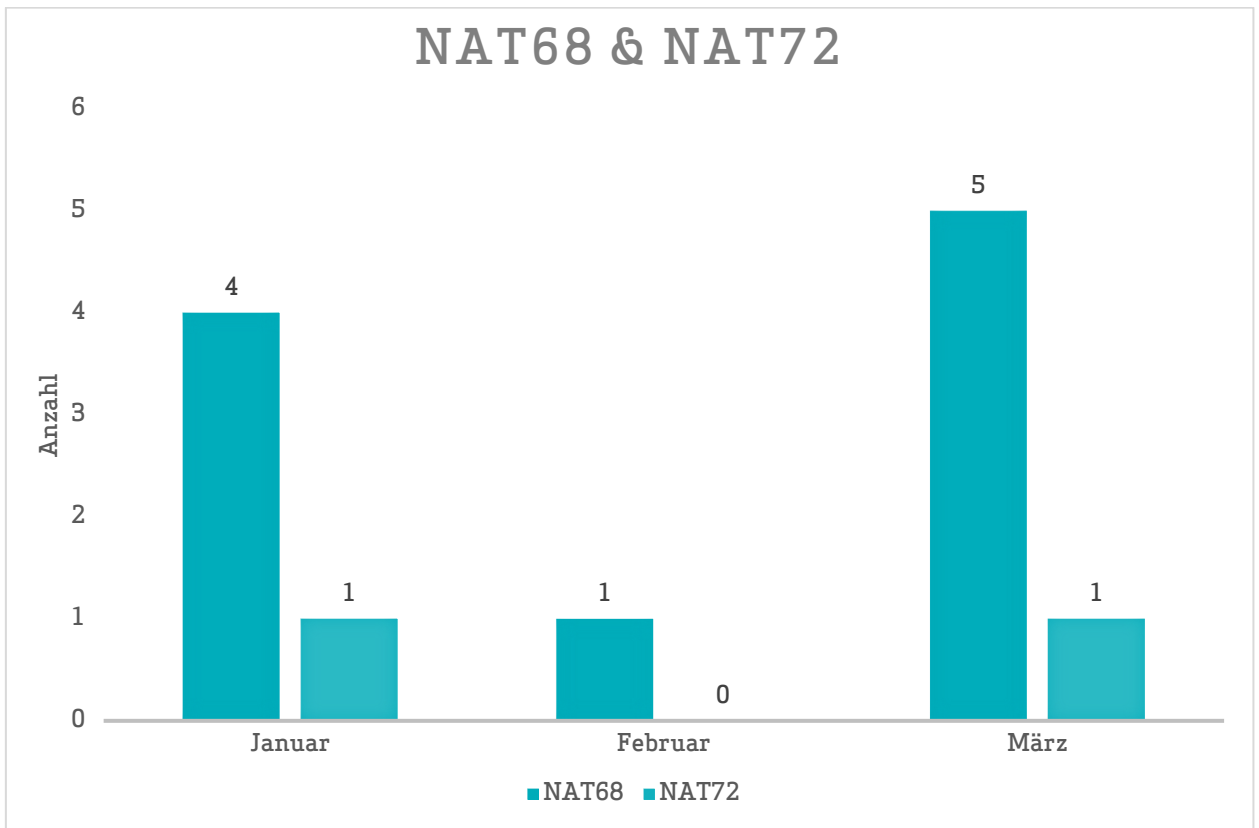


Abb. 9: NAT68 und NAT72

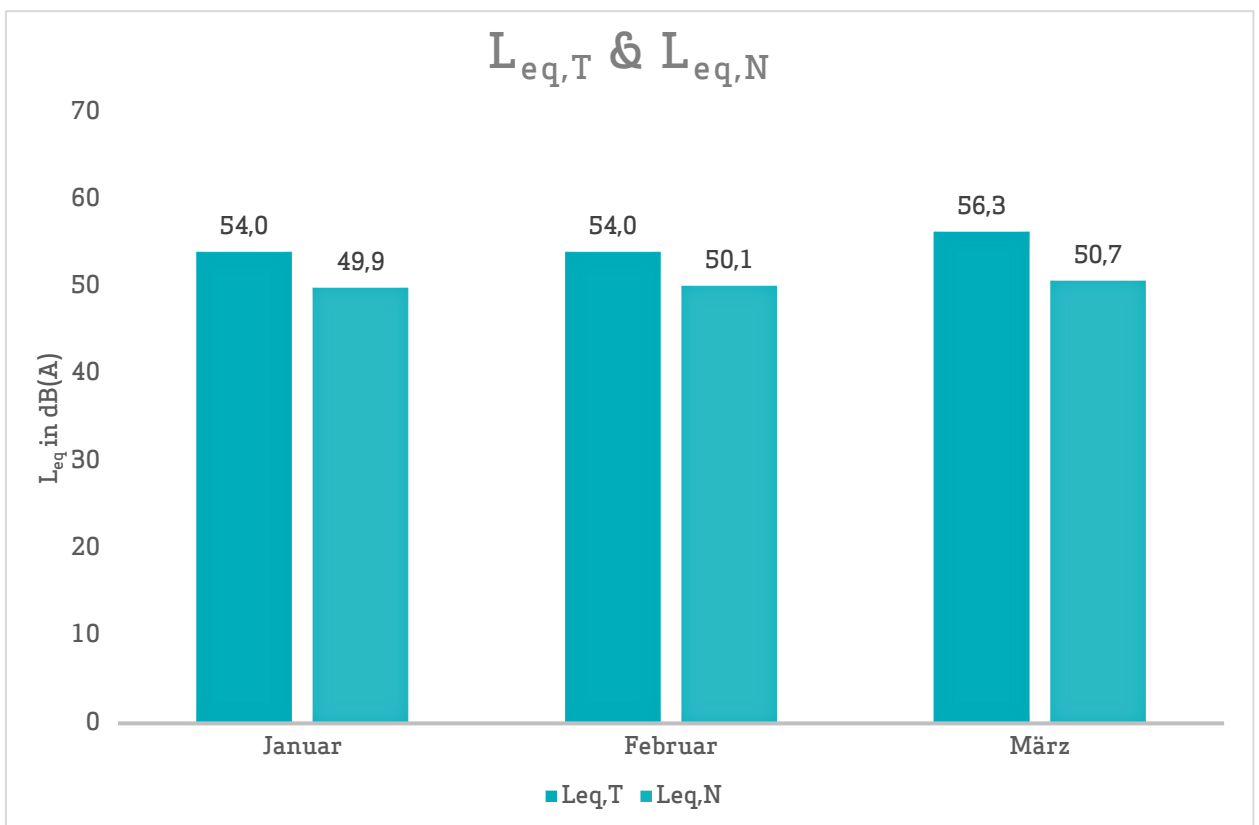


Abb. 10: L_{eq} Tag und Nacht

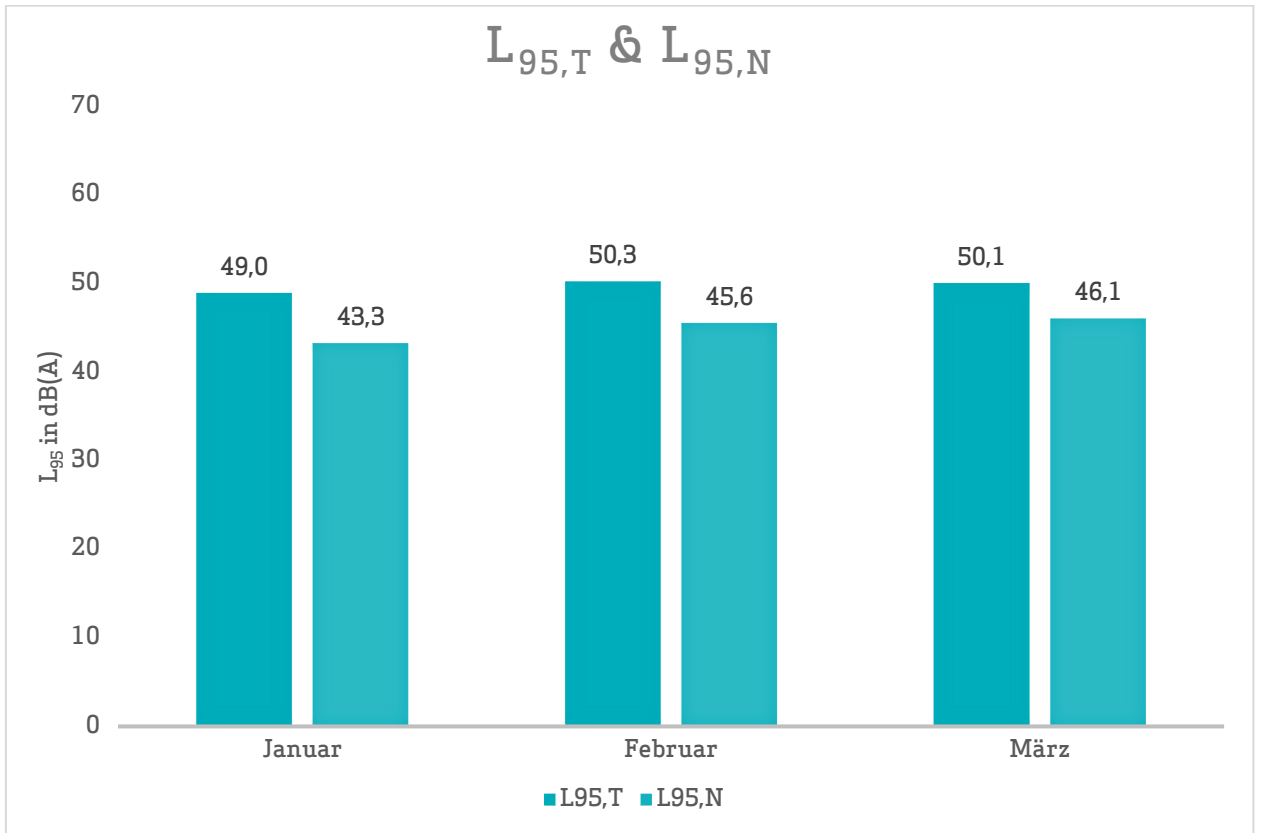


Abb. 11: L₉₅ Tag und Nacht

4.3 Jahresübersicht 2021

| in dB(A) | L _{DIN,T} | L _{DIN,N} | NAT68* | NAT72* | L _{eq,T} | L _{eq,N} | L _{95,T} | L _{95,N} |
|-----------|--------------------|--------------------|--------|--------|-------------------|-------------------|-------------------|-------------------|
| Januar | 48,6 | 33,6 | 4 | 1 | 54,0 | 49,9 | 49,0 | 43,3 |
| Februar | 46,8 | 27,7 | 1 | 0 | 54,0 | 50,1 | 50,3 | 45,6 |
| März | 49,3 | 34,0 | 5 | 1 | 56,3 | 50,7 | 50,1 | 46,1 |
| April | | | | | | | | |
| Mai | | | | | | | | |
| Juni | | | | | | | | |
| Juli | | | | | | | | |
| August | | | | | | | | |
| September | | | | | | | | |
| Oktober | | | | | | | | |
| November | | | | | | | | |
| Dezember | | | | | | | | |

* Hierbei handelt es sich um einen gemessenen Wert, der nicht nach Fluglärmschutzgesetz zur Definition von Fluglärmschutzzonen heranzuziehen ist.

Herausgeber Umwelt- und Nachbarschaftshaus | Gemeinnützige Umwelthaus GmbH
Rüsselsheimer Str. 100 | 65451 Kelsterbach | www.umwelthaus.org

Fluglärmmessung mit automatischer Geräuschklassifikation

D.Hemmer¹, D. Knauß², C. Pörschmann¹

¹ Fachhochschule Köln, 50679 Köln - e-mail: dominic.hemmer@fh-koeln.de

² deBAKOM GmbH, 51519 Odenthal

Einleitung

Bei der Messung von Flugzeuggeräuschen ist mit einer Beeinflussung des Fluglärmpegels durch verschiedene Fremdgeräusche zu rechnen. Zur Trennung dieser Ereignisse gibt es unter anderem die Möglichkeit der Klassifizierung durch Mustererkennung oder Korrelationsanalyse, die eine getrennte Betrachtung der auftretenden Schallereignisse ermöglicht. In der hier vorgestellten Untersuchung geht es in erster Linie um die Auswirkung verschiedener Erkennungsmethoden auf den Mittelungspegel und weniger um die Fehlerraten bei der Erkennung der Anzahl an Flugzeugen.

Vergleich zweier Methoden

Zur Geräuschidentifikation von Flugzeugen wurde an der Fachhochschule Köln ein Algorithmus entwickelt, mit dem es möglich ist, Flugzeuggeräusche zu identifizieren (Methode 1) [1]. Im Rahmen eines gemeinsamen Forschungsprojektes kann mit der Firma deBAKOM aus Odenthal der neu entwickelte Algorithmus getestet und mit dem vorhandenen Verfahren (Methode 2) der deBAKOM verglichen werden.

Methode 1

Die verwendete Musteranalyse arbeitet mit einem Vergleich mehrerer spektraler und temporaler akustischer Eigenschaften die als Merkmale zur Identifikation von Audiosignalen dienen. Untersuchungen mit verschiedenen akustischen Merkmalen zeigten [1], dass sich einige besonders gut zur Identifikation von Flugzeuggeräuschen eignen. Folgende Merkmale wurden zur Identifikation verwendet:

- spektraler Schwerpunkt
- spektrale Wölbung und Schiefe
- Linear Predictive Coding: Schwerpunkt und Schwankung
- MFCC (Mel Frequency Cepstral Coefficients)

Die Verwendung von MFCC stellt sich als besonders günstig heraus. Werden bestimmte Koeffizienten der MFCC verwendet, so erhält man einen Merkmalsvektor, welcher eine gute Unterscheidung von Flugzeuggeräusche und anderen Geräuschklassen ermöglicht.

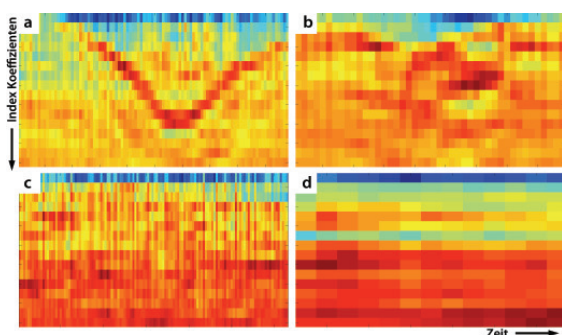


Abbildung 1: MFCC aus verschiedenen Klassen (a: Flugzeug, b: Auto, c: Zug, d: Hintergrund) – Dargestellt sind jeweils 18 Koeffizienten, aufgetragen über der Zeit.

Methode 2

Die derzeit in der Praxis eingesetzte Methode zur automatischen Erkennung von Fluglärm ist ein 3-stufiges Verfahren, das auf der spektralen Struktur und dem typischen zeitlichen Verlauf von Flugzeuggeräuschen, wie er z.B. in der DIN 45643 beschrieben ist, beruht. Die ersten beiden Stufen der Erkennung nutzen die spektrale Struktur des Fluglärms zur Identifikation. In der ersten Stufe erfolgt die Zuordnung anhand des Gesamtspektrums, während in der zweiten Stufe eine detailliertere Erkennung anhand einer Korrelationsanalyse mit Musterspektren erfolgt. Diese Musterspektren werden anhand von Audioaufzeichnungen aus für den Messort typischen Fluglärmereignissen erstellt.

Da die spektrale Struktur von Fluglärmgeräuschen stark variiert, d.h. auch vom jeweiligen Messort abhängig ist, ist eine individuelle Anpassung der Muster an den Messort erforderlich. Dies kann entweder vorab erfolgen, falls bereits Audioaufzeichnungen vorliegen, oder die Zuordnung wird nach der Messung durchgeführt. In beiden Fällen erfolgt die Erkennung mit Stufe 1, die bereits eine gute Erkennung zulässt. Die Bestimmung des Fluglärmpegels erfolgt in der Regel ereignisorientiert, d.h. Fluglärm ist auf eine kurze Zeitspanne beschränkt. Diese Tatsache wird im dritten Teil der Fluglärm-erkennung verwendet, indem aus dem Pegel-Zeitverlauf Ereignisse heraus gefiltert werden, die der typischen zeitlichen Struktur des Fluglärms am Messort entsprechen. Dies sind z.B. die Dauer des Ereignisses, die sogenannte t10-Zeit oder typische Pegelhöhen. Damit stehen für die Zuordnung zwei Kriterien zur Verfügung: Das Geräusch entspricht in seiner spektralen Struktur Fluglärm und die zeitliche Struktur entspricht den Fluglärmgeräuschen.

Beispiele aus der Praxis

Die Tabelle in Abbildung 2 zeigt ein Beispiel für die automatische Fluglärm-erkennung. Das Messsystem wurde im August 2010 in Neu-Isenburg (Flughafen Frankfurt) eingerichtet. In der Tabelle sind die Pegelwerte sowie die Anzahl von Fluglärmereignissen in einem Erfassungszeitraum von 5 Monaten mit automatischer (deBAKOM) und manueller Auswertung dargestellt. Für den Monat August wurden dabei lediglich Stufe 1 und Stufe 3 der Erkennung eingesetzt. Ab September auch Stufe 2. Wie der Tabelle zu entnehmen ist, zeigen die Pegel der beiden Auswertungen nur geringe Abweichungen. Bei der Anzahl der zugeordneten Ereignisse hingegen ergeben sich größere Diskrepanzen, die vor allem durch Ereignisse mit kleinen Pegeln nahe der Schwelle verursacht werden.

| | | Ld dB(A) | Ln dB(A) | Anzahl Tag | Anzahl Nacht |
|----------------|-----------|----------|----------|------------|--------------|
| August 2010 | deBAKOM | 59,7 | 53,9 | 10617 | 1390 |
| | manuell | 59,2 | 53,2 | 8623 | 1124 |
| | Differenz | 0,5 | 0,7 | 1994 | 266 |
| September 2010 | deBAKOM | 60 | 53,6 | 12744 | 1583 |
| | manuell | 59,8 | 53,4 | 11175 | 1504 |
| | Differenz | 0,2 | 0,2 | 1569 | 79 |
| Oktober 2010 | deBAKOM | 60,3 | 55,7 | 11994 | 1710 |
| | manuell | 60,1 | 55,4 | 11012 | 1649 |
| | Differenz | 0,2 | 0,3 | 982 | 61 |
| November 2010 | deBAKOM | 60,2 | 55,4 | 11635 | 1514 |
| | manuell | 59,9 | 55,2 | 10544 | 1466 |
| | Differenz | 0,3 | 0,2 | 1091 | 48 |
| Dezember 2010 | deBAKOM | 58,8 | 54,4 | 10013 | 1577 |
| | manuell | 58,8 | 54,3 | 9479 | 1529 |
| | Differenz | 0 | 0,1 | 534 | 48 |

Abbildung 2: Vergleich der Messungen in Neu-Isenburg zwischen manueller und automatischer Auswertung. Für September wurde eine Musteranpassung vorgenommen, die dazu führte, dass die Differenz zwischen automatischer und manueller Erkennung kleiner wird.

Im folgenden Beispiel befand sich die Messanlage im Unterschied zum vorigen Szenario direkt an der Straße, so dass die Pegelaufzeichnungen eine Mischung aus Straßenverkehr und Fluglärm darstellen. In der folgenden Grafik sind für 2 Tage die anhand verschiedener Verfahren ermittelten Fluglärmpegel, so wie der errechnete Mittelungspegel gegenübergestellt.

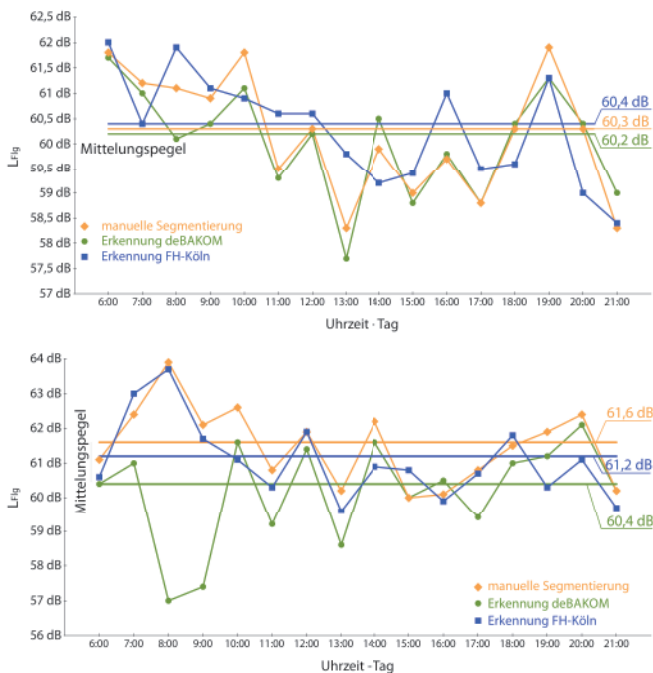


Abbildung 3: Auswertung der Messdaten. Vergleich von Methode 1, Methode 2 und manueller Auswertung. Oben: 23.10.08 (Tag ohne Regen) • Unten: 27.10.08 (Tag mit Regen). Ohne Regen ist die Abweichung der Mittelungspegel nur gering. Erhöht sich durch Regen jedoch das Hintergrundgeräusch, so wird die Erkennung schlechter und der Mittelungspegel weicht stärker ab.

Die folgenden Abbildungen zeigen den Pegel-Zeitverlauf für einen Zeitabschnitt mit wenig KFZ (5-6 Uhr) und einen Abschnitt mit deutlich mehr Fremdgeräuschen (15-16 Uhr). In Abbildung 4 (unten) ist deutlich zu erkennen, dass eine ‚einfache‘ Zuordnung der Ereignisse – Fluglärm nicht mehr möglich ist.

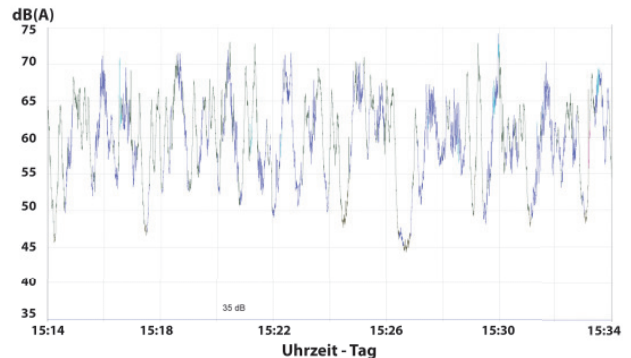
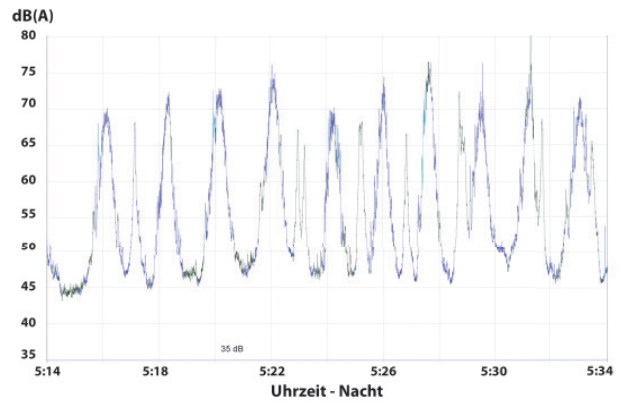


Abbildung 4: Pegelschrieb mit farblich markierter Erkennung der Klasse (blau: Flugzeug, grün: keine Erkennung) - Oben: Nacht • Unten: Tag

Diese Fluglärmereignisse sind auch manuell nicht ohne weiteres zu identifizieren, da es sich bei den Ereignissen um eine Mischung aus Fluglärm und anderen Lärmereignissen handelt. Dies ist mit ein Grund, weshalb in einzelnen Stunden zum Teil größere Abweichungen zwischen den Pegeln aus den drei Verfahren auftreten (Abb. 3). Da der Fluglärmpegel jedoch nicht auf Stundenbasis, sondern anhand eines Langzeitmittelungspegels über 6 Monate bestimmt wird, ist die automatische Erkennung geeignet, Fluglärmereignisse und deren Pegel zu ermitteln (Abb. 2).

Fazit

Bei dem Vergleich der vorgestellten Methoden sind nur geringe Abweichungen im Mittelungspegel zu beobachten. Betrachtet man den Pegel bei dem Vergleich der unterschiedlichen Methoden, so ergeben sich nur geringe Abweichungen beim Mittelungspegel. Allerdings gibt es eine größere Abweichung bei der Betrachtung der Anzahl der erkannten Ereignisse. Die Ursache für die Abweichung liegt maßgeblich an dem gleichzeitigen Auftreten verschiedener Geräuschklassen am Messort. Fluglärmernennung ist jedoch nur ein Beispiel für die Mustererkennung. Die Verfahren sollen nicht nur für Fluglärm, sondern auch für andere Geräushtypen (Straße, Bahn, Industrie etc.) eingesetzt werden.

Literatur

- [1] D. Hemmer, C. Pörschmann (2010). Testsystem zum Vergleich verschiedener Parameter zur Verbesserung der Erkennungsleistung bei der Flugzeuggeräuschidentifikation. In: Fortschritte der Akustik - DAGA 2010, DEGA e.V., D - Oldenburg, pp. 829-830